

Un Fruit Virtuel pour prédire la croissance et la qualité

V. Baldazzi
G. Vercambre
B. Quilot
M. Génard



Fruit Virtuel

- Né dans les années 90s pour modéliser la qualité d'un fruit

- **Taille, teneur en MS**
- **Qualité gustative**

Concentrations en sucres (saccharose, glucose, fructose, sorbitol)

Concentrations en acides (malique et citrique)

- Valeur santé (caroténoïdes, vit. C)
- Texture

- ▶ **Application à plusieurs**
- ▶ **Espèces:**
- ▶ **tomate, pêche, raisin,**
- ▶ **Mangue, banane**



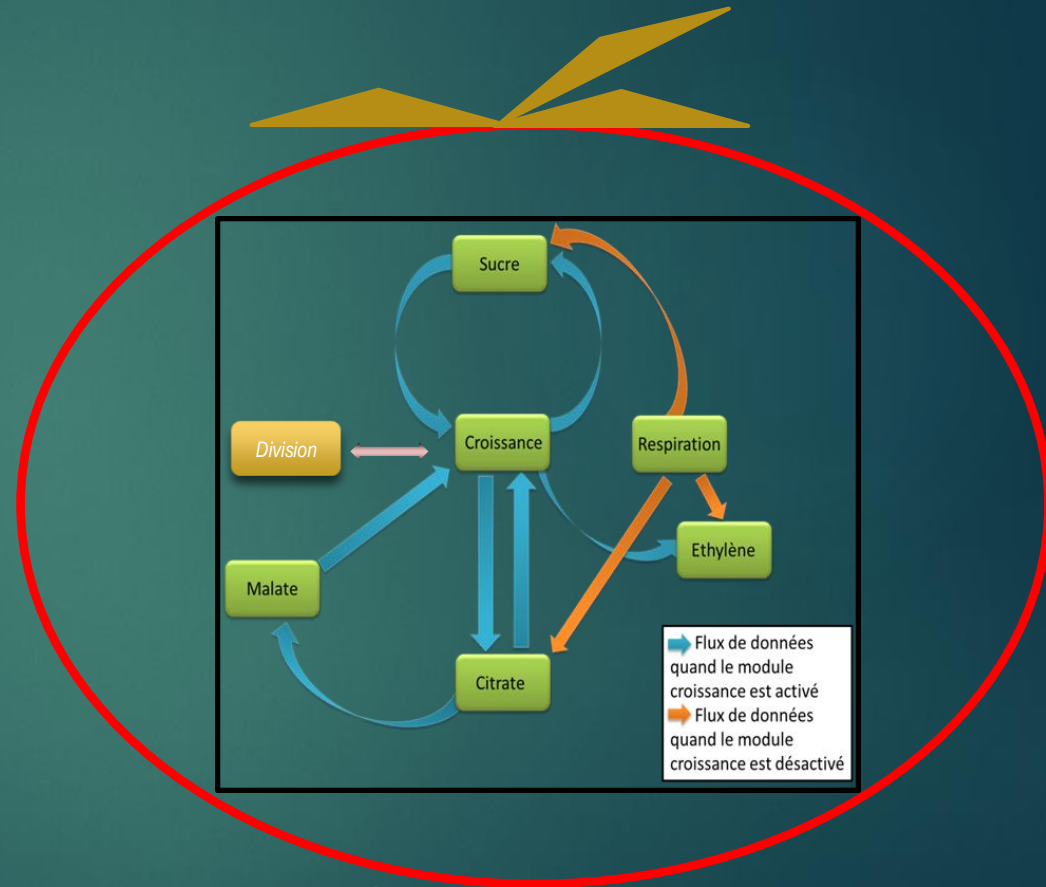
Fruit Virtuel: structure générale

- ▶ Plusieurs modules \leftrightarrow processus physiologiques
 - ▶ Autonomes or en interaction
 - ▶ Activables au choix

- ▶ Interaction avec l'environnement

- ▶ Description modulable

- ▶ Selon les espèces (pêche, tomate, raisin, mangue,...)
- ▶ Selon les question scientifiques
- ▶ Selon les informations biologiques disponibles



Interaction avec l'environnement

▶ via la plante

- Concentration en sucres dans le phloème
- Potentiel hydrique

Phloem sugar concentration
Hydric potential

▶ via quelques processus spécifiques

- Transpiration du fruit:

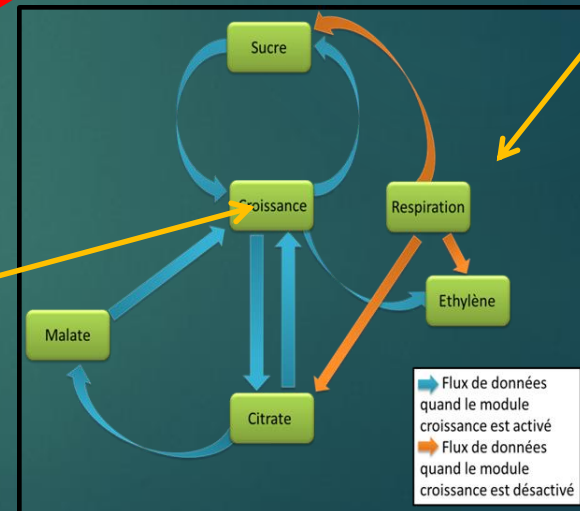
$$T_f = \alpha(T) \rho A_f (H_f - H_a)$$

- Respiration du fruit:

$$R_f = q_g \frac{ds}{dt} + q_m(T)s$$

$$q_m = q_{m(20)} Q_{10}^{(T-20)/10}$$

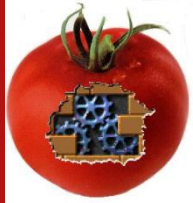
T, H



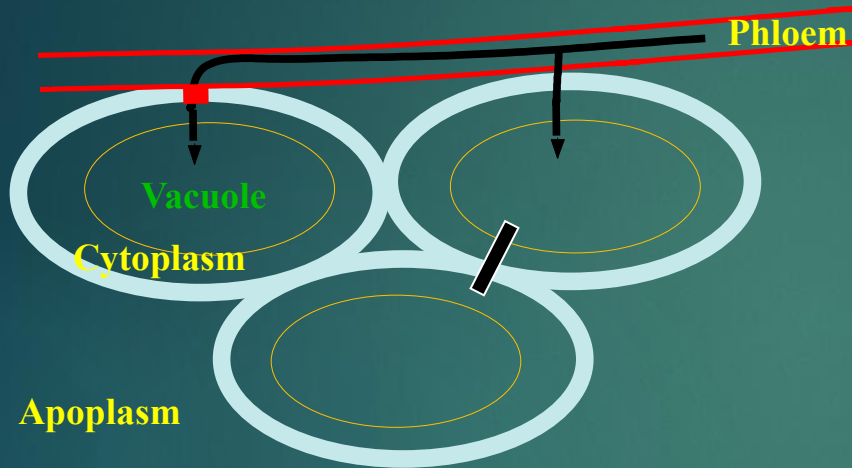
Croissance



Modelling



Carbon transport in fruit



$$dMS/dt = FluxS - Rf + (Phot)$$

FluxS = sugar unloading flux

Rf = respiration of the fruit

Phot = photosynthesis

$$FluxS = \underbrace{\frac{s \times v_m \times C_{phl}}{(K_M + C_{phl}) \times IF}}_{\text{Active transport}} + \underbrace{(1 - \sigma_p) C_s Flux_{phl}}_{\text{Mass flow}} + \underbrace{A_p P_s (C_{phl} - C_{fruit})}_{\text{Passive diffusion}}$$

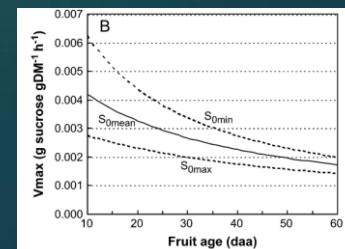
σ_p solute reflection coefficient of the membrane

P_s = permeability to sugars

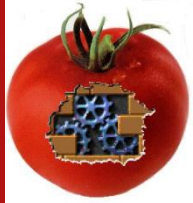
C sugar concentration, IF inhibition factor

A_p exchange area

Phénologie dans
 V_m/IF



Fruit volume expansion



$$dV/dt = (F_x + F_p - T_f)$$

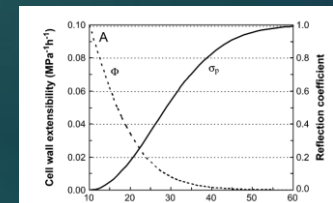
$$F_x = \text{Xylemic flow} = A_x L_x (\psi_{xyl} - \psi_f)$$

$$F_p = \text{Phloemic flow} = A_p L_p (P_p - P_f - \sigma_p (\pi_p - \pi_f))$$

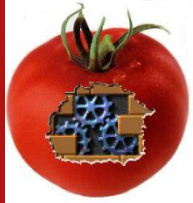
$$T_f = \text{Transpiration} = \text{Surf} a \rho (H_f - H_a)$$

Water flux \Rightarrow From high to low water potential (ψ)
From high to low turgor pressure (P)
From low to high osmotic pressure (π)
From high to low relative humidity (H)

**Phénologie dans L_x , L_p ,
 σ_p et ρ**

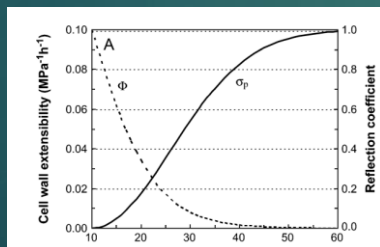


Irreversible PLASTIC variations in volume



$$dV/dt = (F_x + F_p - T_f)$$

**Lockhart
equation (1965)**



$$dV/dt = \phi \cdot V \cdot (P_f - Y)$$

ϕ = plasticity

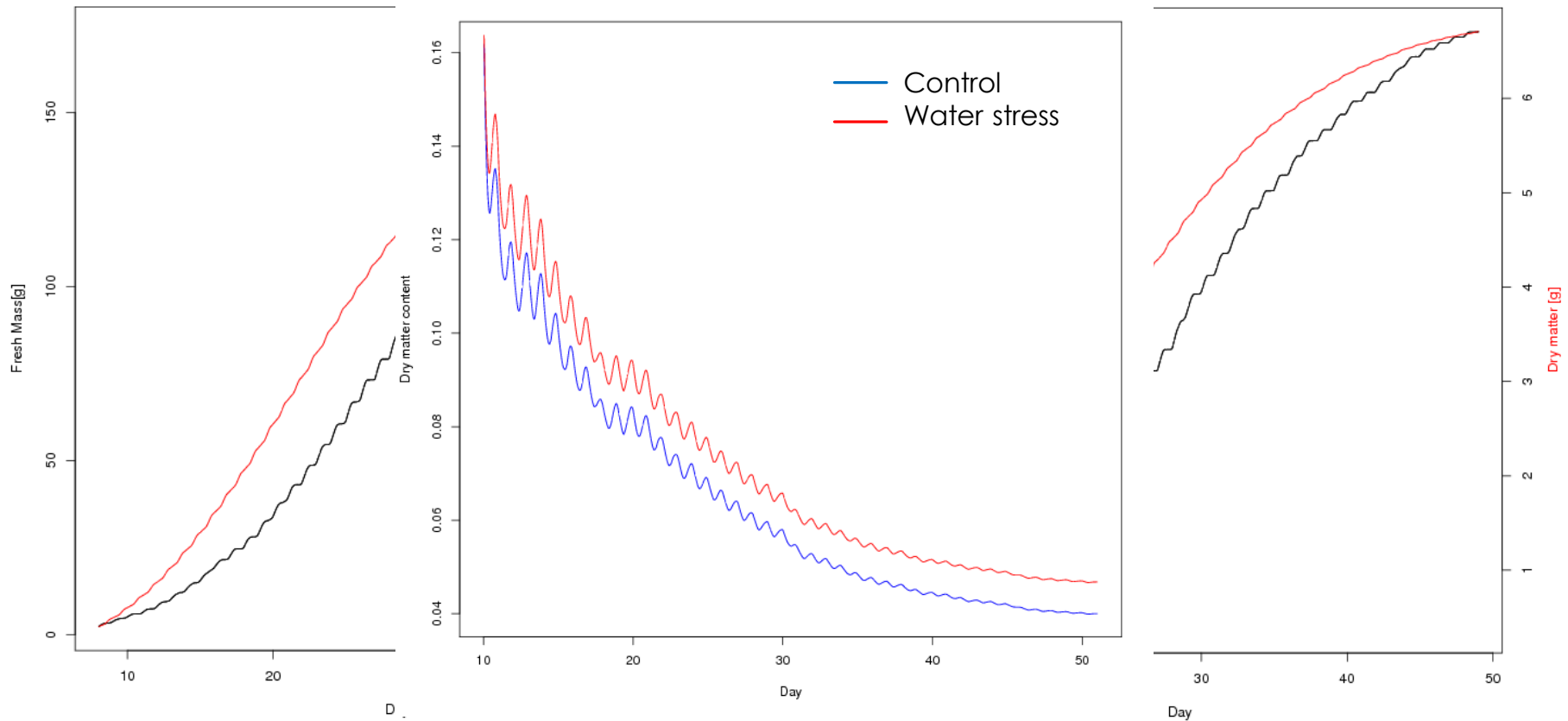


**Fruit turgor
pressure**

Phénologie dans ϕ et Y

Etude des effets de stress hydrique

- Stress hydrique : Potentiel hydrique -1 bar (Tomate)



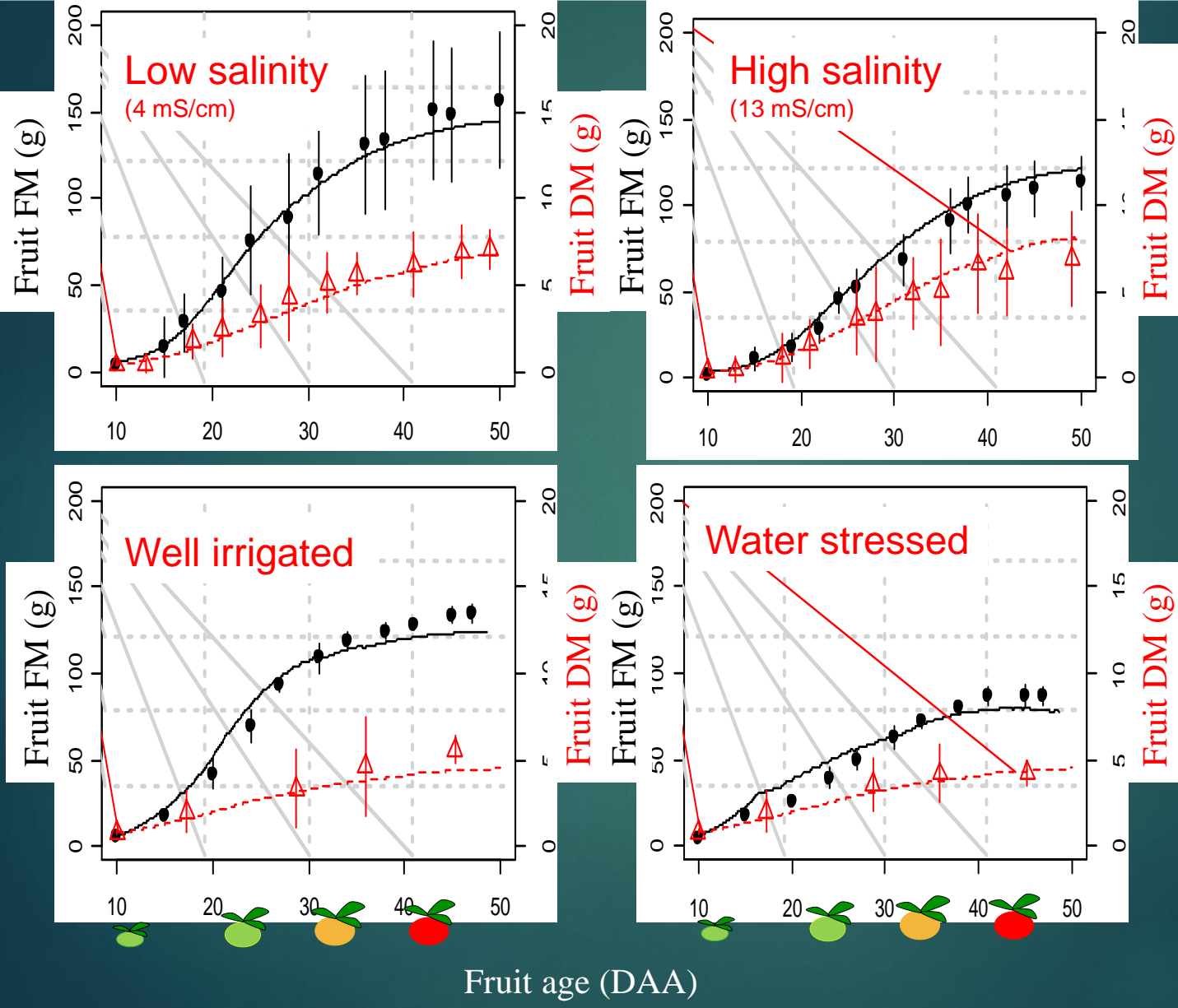
Augmentation de la masse fraîche et matière sèche

Etude des effets de stress hydrique



Tomate

Model capacity to simulate the effect of salinity and water stress on fruit growth



Fruit age (DAA)

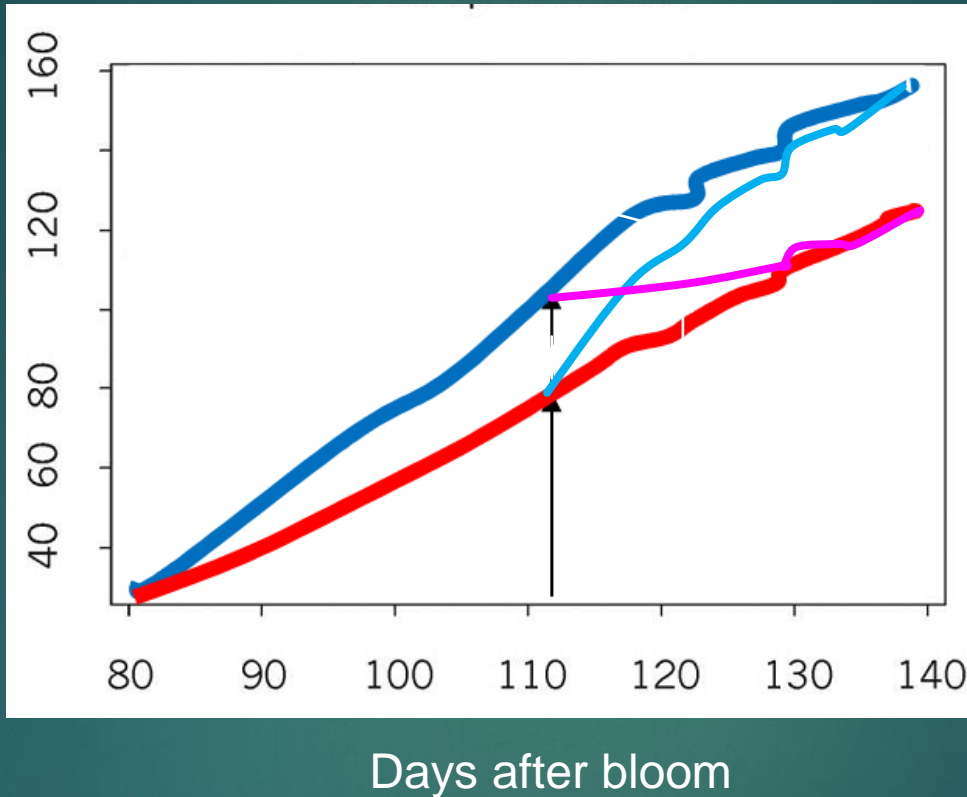
The virtual fruit is able to reproduce complex behaviors



Pêche



Fresh fruit mass (g)



Memory effect:

A water stressed fruit grows quicker if it has been acclimated to the stress

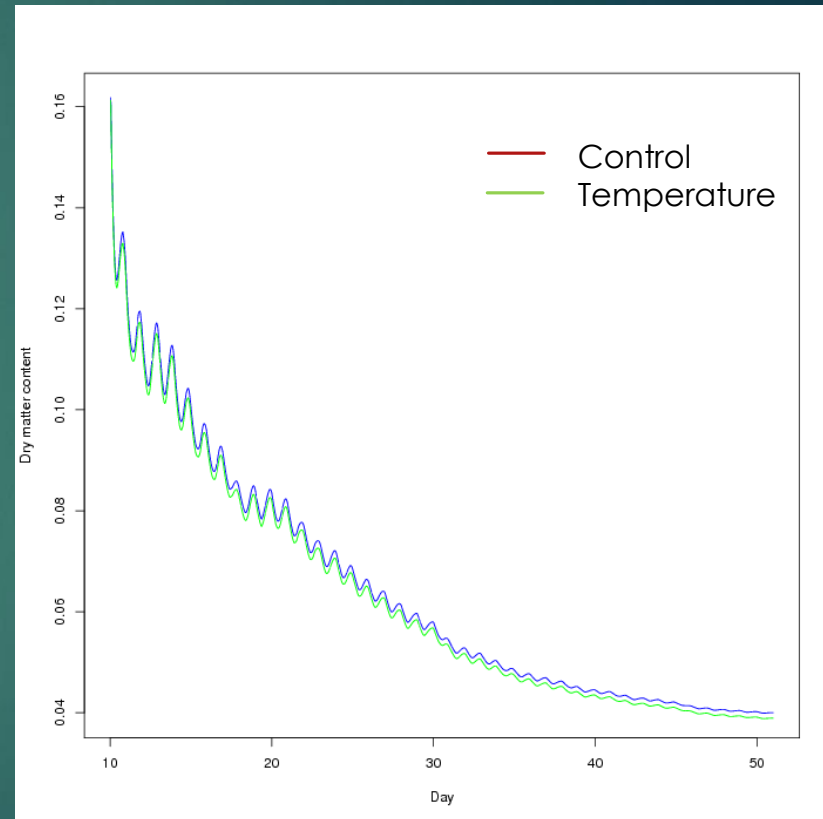
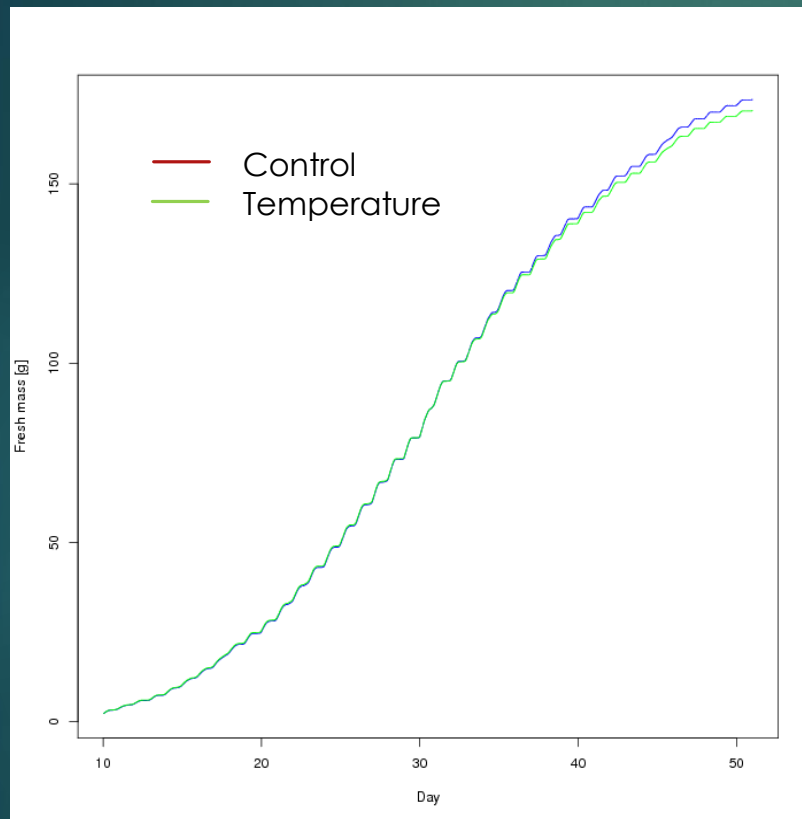
Compensatory growth:
a water stressed fruit grows quicker when well irrigated

Etude des effets de stress thermique



Etude des effets de stress thermique

- température du fruit + 6 °C (Tomate)



Faible effet de la température dans le modèle

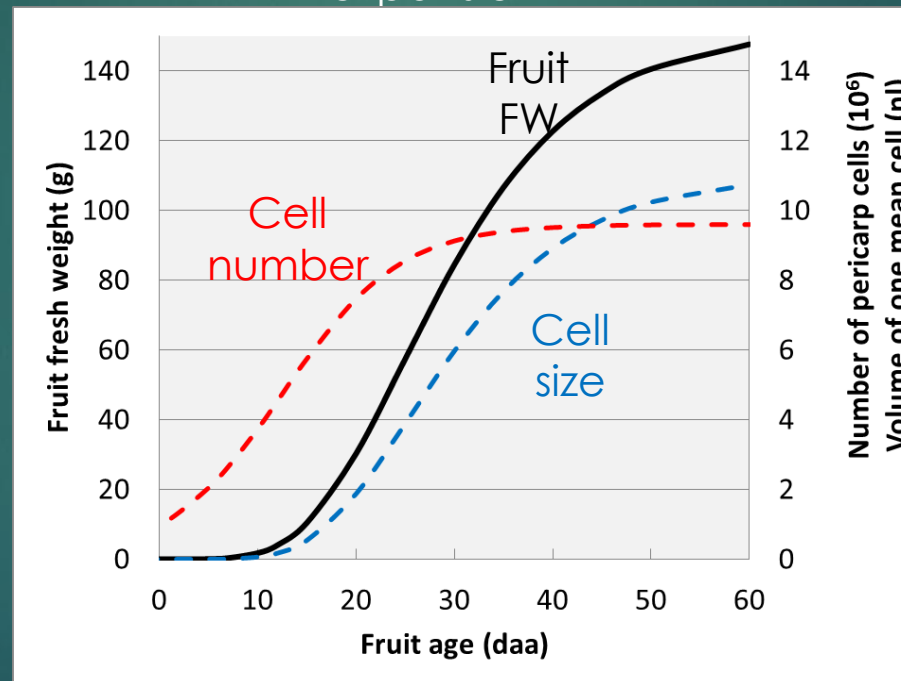


Prise en compte partielle des effets température/stress hydrique

Piste pour amélioration du module « croissance » du Fruit Virtuel

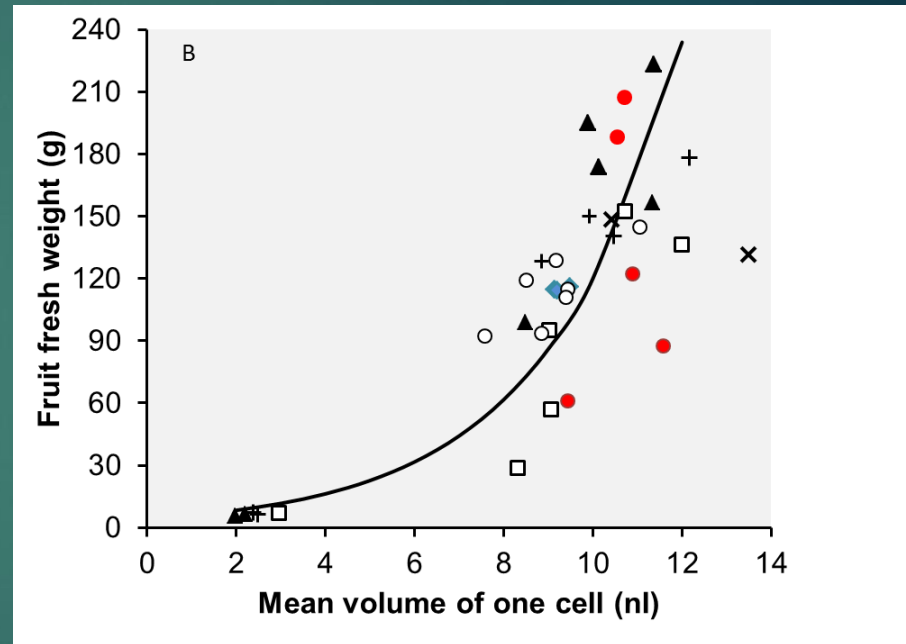
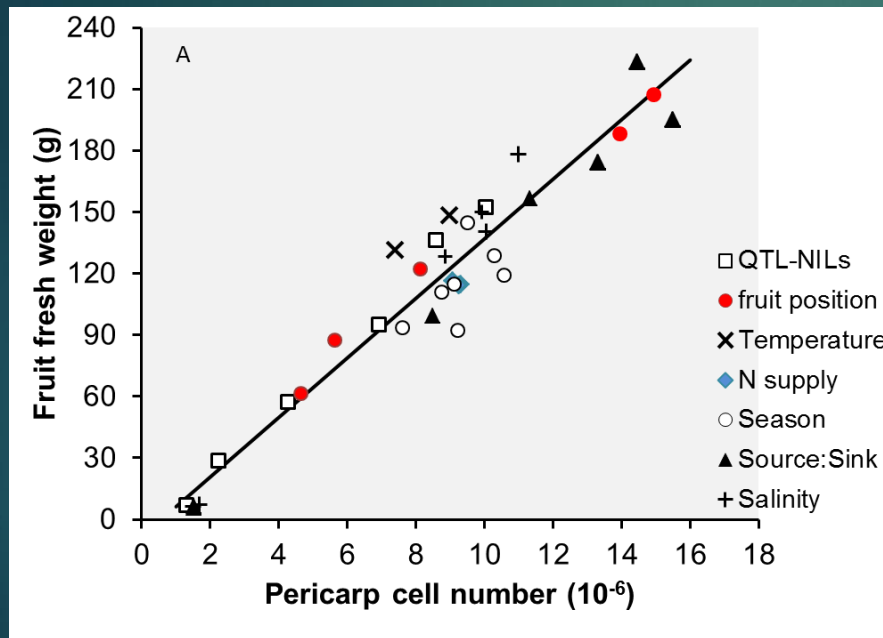
- Effet temperature sur la viscosité sève, le métabolisme, la respiration (faible Q10 dans nos simu tomate)
- Effet de la temperature sur la division cellulaire et l'endoreduplication
- Connexion avec la plante

Final fruit size emerges from interactions among several processes during fruit development



The relative contributions of division and expansion processes to fruit growth can be easily illustrated

Relationships between final fruit size and cell number or mean cell size for different genotypes and environments



Cell expansion is responsible for the fruit volume increase, but final fruit size is highly correlated to the number of cells

Effet de la température sur nombre de cellules

Plusieurs effets de la température sur les processus cellulaires sont reportés dans la littérature

Sur division:

- Reduced cell duration division phase and increased number of cell layers at high temperature has been reported in tomato fruit (Bertin et al. 2005, Fanwoua et al 2012)
- Division rates are shown to increase with temperature in maize (Parent et al. 2010)

Sur endoreduplication:

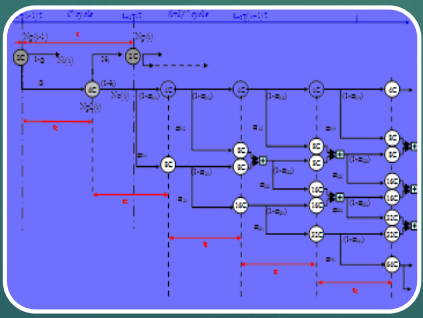
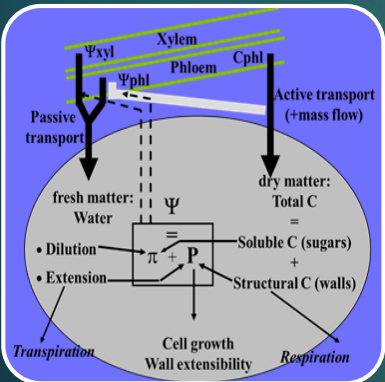
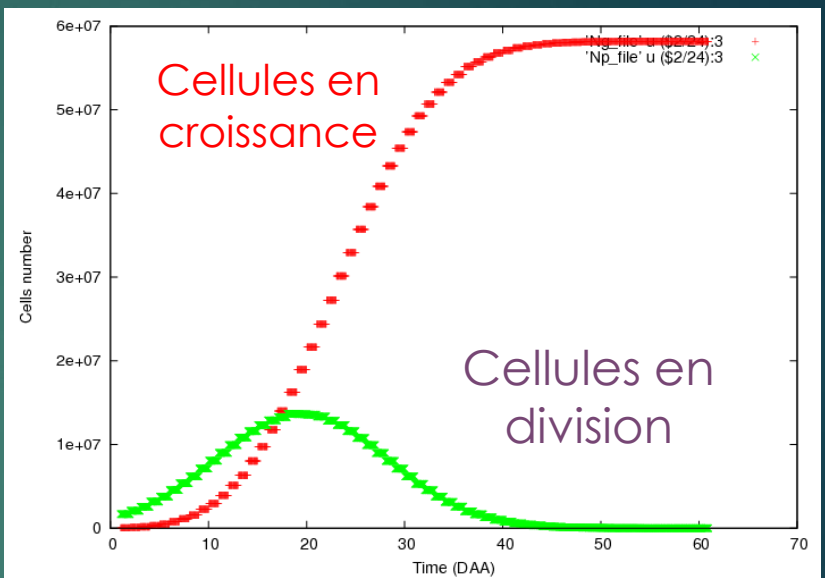
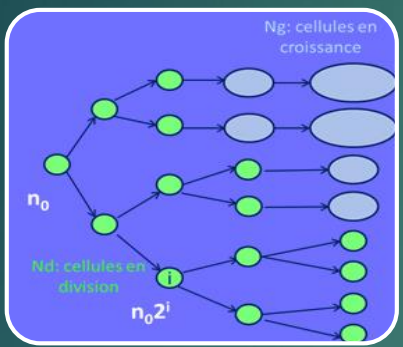
- Low temperature is reported to delay entry into endoreduplication in orchid flower (Gendreau, Hofte, Grandjean, Brown, & Traas, 1998) and slightly reduce the final endoreduplication level in tomato fruit and maize seed (Bertin, 2005, Engelen-Eigles et al. 2001)

Interaction avec pratiques possible!!

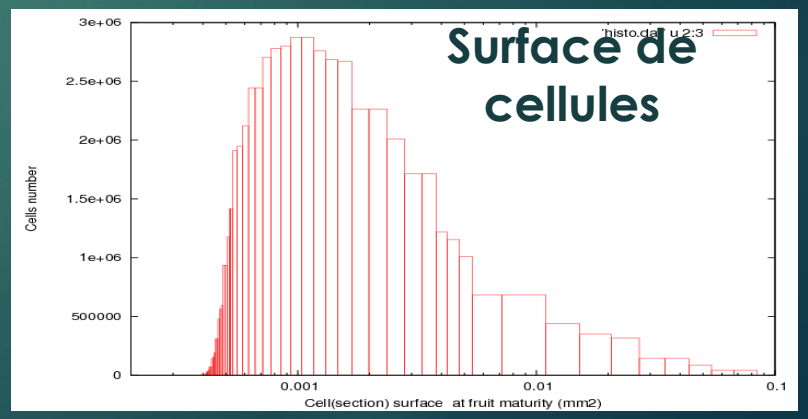
- The onset of cell expansion is advanced at high temperature in tomato but the resulting effect on final cell size may depend on fruit load (Bertin 2005, Fanwoua et al 2012)
- Increased fruit load reduces meristem cells number (Baldet et al.)

Vers un modèle intégré division-croissance- endoreduplication

Modélisation couplée des processus de division cellulaire,
d'endoreduplication et de croissance



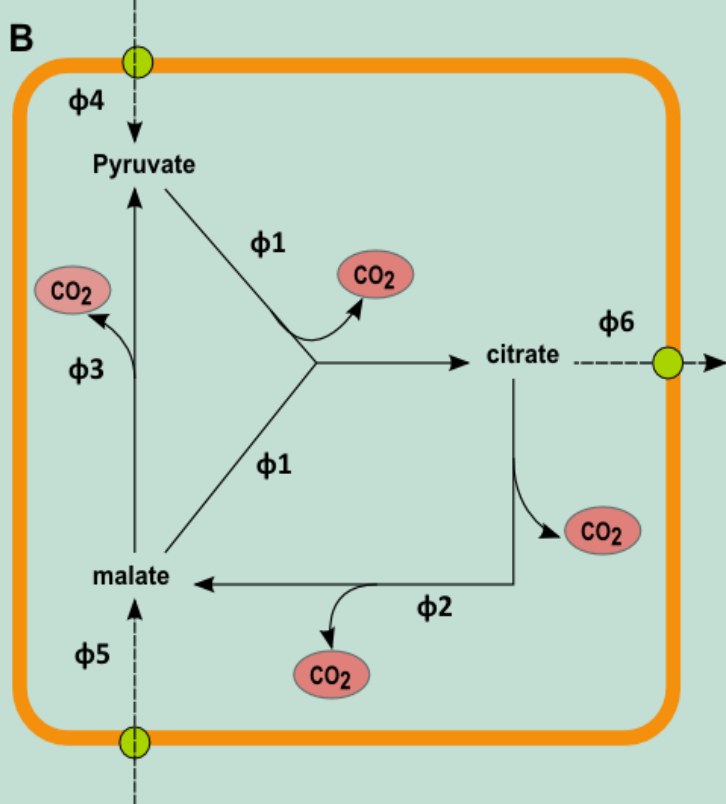
Environnement (T, H, plant status)



Composition



Equations du modèle Citrate



- Equations de stœchiométrie

$$d(M_{pyr})/dt = \Phi_4 + \Phi_3 - \Phi_1 = 0$$

$$d(M_{mal})/dt = \Phi_5 + \Phi_2 - \Phi_3 - \Phi_1 = 0$$

$$d(M_{cit})/dt = \Phi_1 - \Phi_2 - \Phi_6 = 0$$

$$Resp = \Phi_1 + 2\Phi_2 + \Phi_3$$

- Réactions enzymatiques

$$\Phi_i = k_i * [S]$$

Activité enzymatique

- Réactions de transports membranaires

$$\Phi_j = k_j * ([S]_{mit} - [S]_{cyt})$$

Activité transporteur



Flux net de production de citrate: $\Phi_6 = f(Resp, [Pyr]_{cyt}, [Mal]_{cyt}, k_i, k_j)$

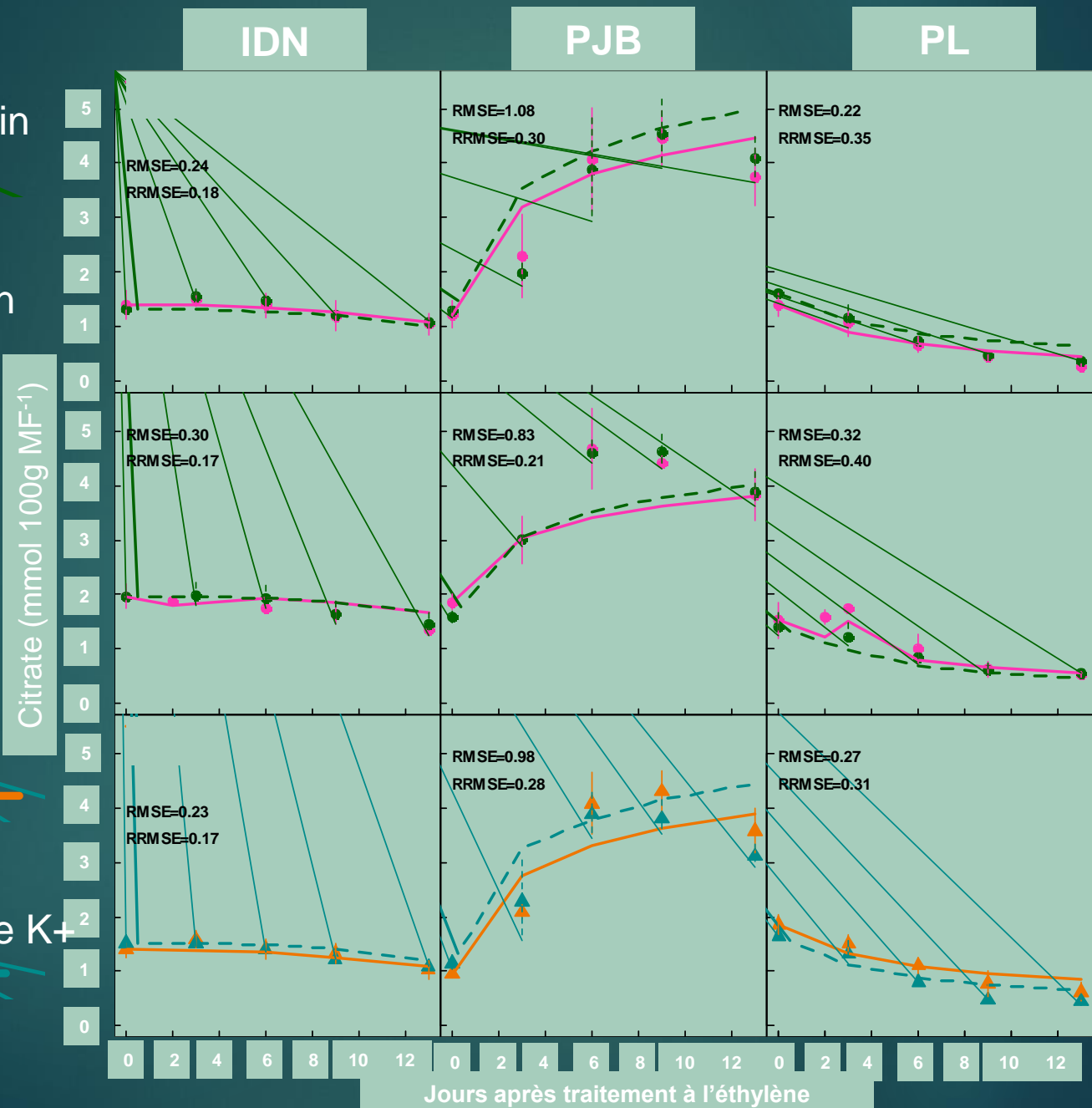


$$[Cit] = \frac{100}{PF} * (MCit_{t_0} + \int_{t_0}^t \phi_6 dt)$$

Equation de Respiration (Cannell and Thornley, 2000):

$$Resp = q_g \frac{dPS}{dt} + q_m PS Q_{10}^{\frac{T-20}{10}}$$

Calibration et validation du modèle post récolte



2011
70% IFJ
Calibration

2011
90% IFJ
Calibration

2012
Validation

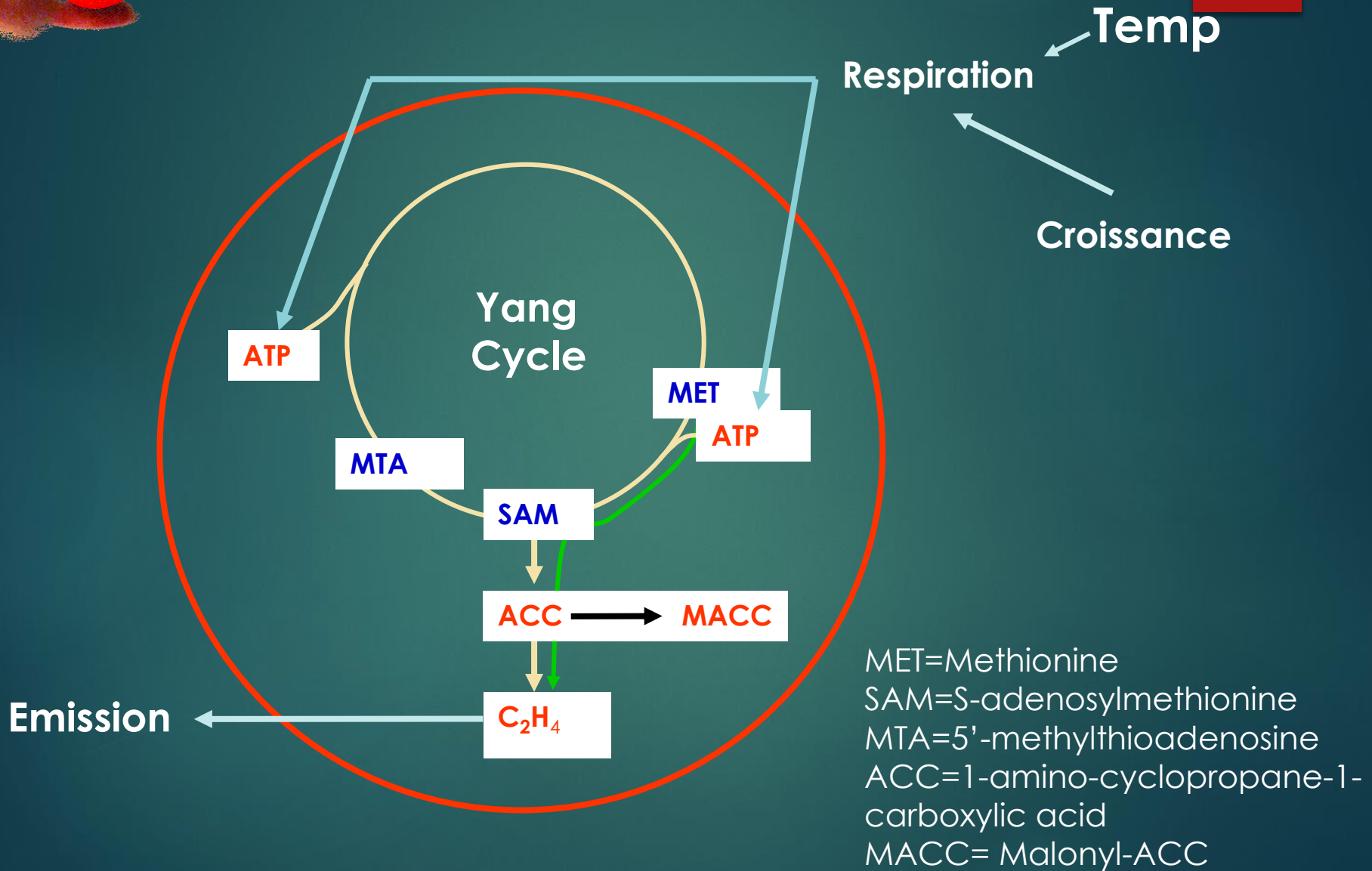
Jours après traitement à l'éthylène

Maturation

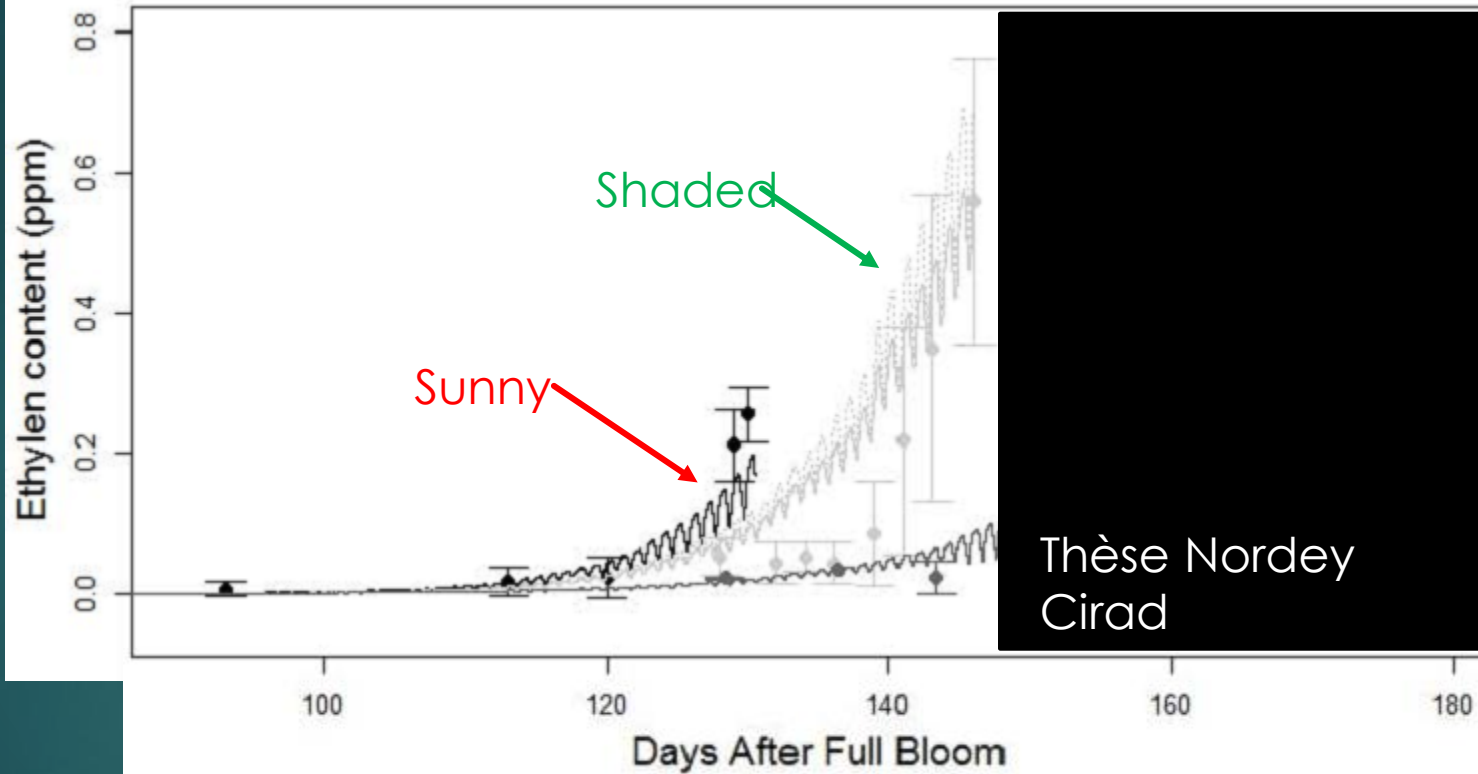




Ethylène



- Meas. Sunny 100L/F
- Meas. Shaded 100L/F

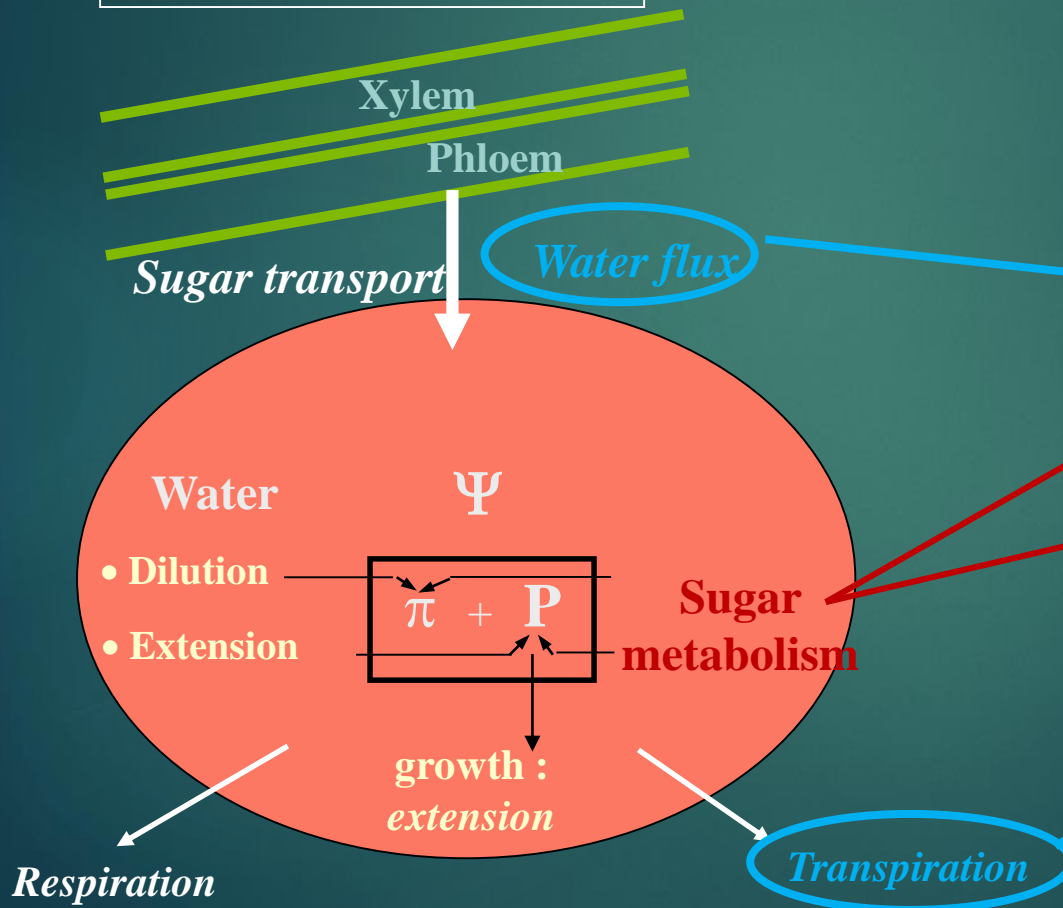


Thèse Nordey
Cirad

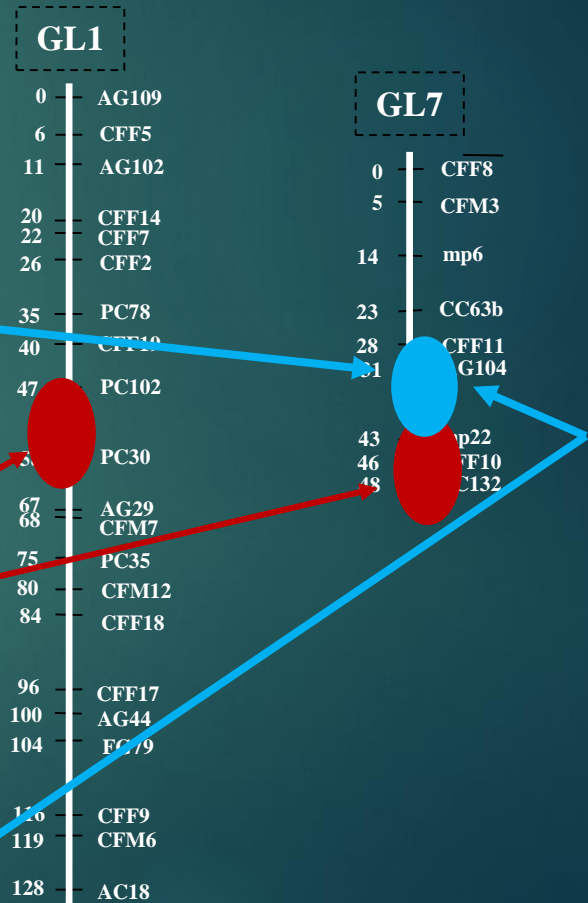
Fruit virtuel et génétique (pêche)

QTL-based model

Model of water and sugar accumulation



Peach genetic map



Combination of virtual fruit and QTLs

Estimation of genetic coefficient θ for a genotype i

n QTLs of θ and m epistatic interactions between 2 locus

0 or 1 according
to the allele
in Q_n

0 or 1 according
to the combination of alleles
in E_m

$$\theta_{n,m} = \mu + \sum_{n=1}^N (i_n \times e(Q_n)) + \sum_{m=1}^M (j_m \times e(E_m))$$

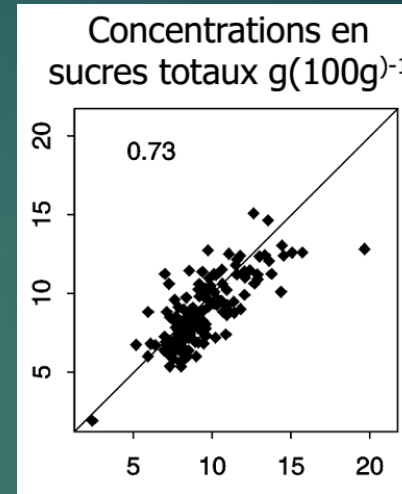
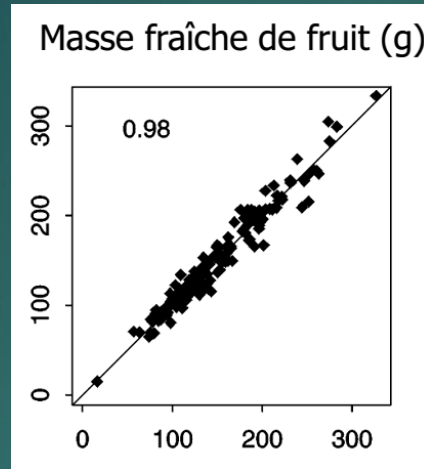
Value of the genetic
coefficient

Effect of QTL
 Q_n

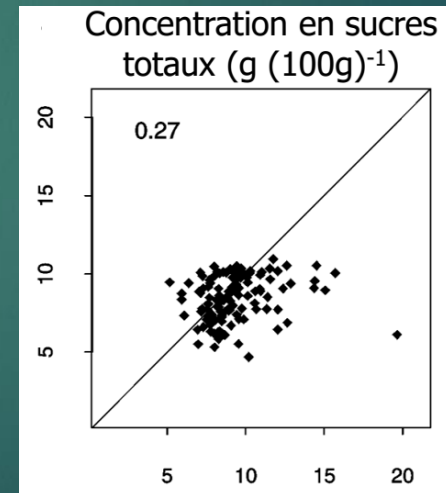
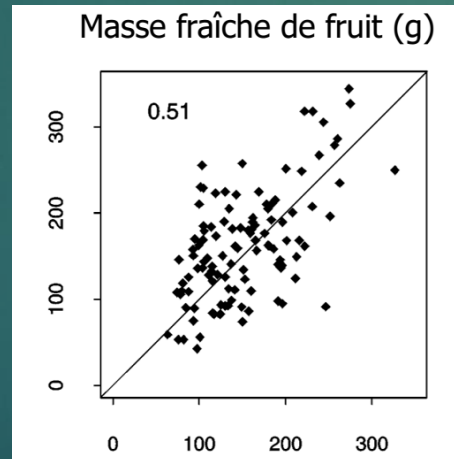
Effect of epistatic
interaction E_m

Prédictions du Fruit virtuel couplé aux QTLs

Fruit virtuel
1 jeu de param
par génotype



Fruit virtuel
param génotype
=f(QTLs)



Conclusion

Nos impressions :

- Assez bonne représentation du stress hydrique à l'échelle du fruit
- Beaucoup de travail reste à faire sur l'effet de la température du fruit sur sa croissance et sa maturité (date de récolte)
- Effets sur le métabolisme primaire (sucres-acides) et secondaire: peu de modélisation
- Les interactions avec la plante sont essentielles à prendre en compte car il est souvent difficile de découpler les effets directs du climat des effets via la plante
- Intégration du contrôle génétique souvent limité par le faible niveau de prédiction des QTLs. Nécessité d'un gros travail sur des populations.

